

九州大学 工学部 正員 平野 宗夫
正員 岩元 賢

I. まえがき

荒廃渓流における不規則な河床粗度の幾何学的特性と流体抵抗を定量的に結びつけ、より普遍的な粗度の概念を確立するために、これまで各種の人工粗度において個々の形状、寸法、配置等による流れの抵抗を調べてきた。

今回は既往の結果をふまえて、さらにこれら各種の人工粗度の抵抗を統一して一つの式で表わして検討を行なったので報告する。

II. 流れの抵抗

図-1に示すように、一般に流れの中に障害物(粗度)が存在する時、その河床に働くセン断力 T としては、形状抵抗とマサッ抵抗が考えられる。

ここで形状抵抗とは粗度の抗力 D のことであり、マサッ抵抗とは粗度表面のマサッカ τ_s と河床面のマサッカ τ_k のことであるが、全体的にみて τ_s の割合は他の抵抗に比べて、かなり小さいと思われる所以ここでは省略することにした。

以上より、粗度1個当りの抗力 D は粗度上の流速を U_k とすると次式で表わせる。

$$D = \rho C_D A_1 \frac{U_k^2}{2} = \rho C_D \epsilon A \frac{U_k^2}{2} \quad (1) \quad C_D: \text{抗力係数} \quad \epsilon: \text{遮へい係数}$$

$A_1: \text{粗度の流れを受ける面の単位面積}$

したがって、河床に種々の粗度が単位面積中に n 個存在する時の全抗力

$$\tau_k \text{ は } \tau_k = \frac{\rho}{2} \sum_{n=0}^{\infty} (C_D A_1 U_k^2) n = \frac{\rho}{2} \int_0^{\infty} (C_D \epsilon A U_k^2) \varphi(D) dD \quad (2) \quad \text{となる。}$$

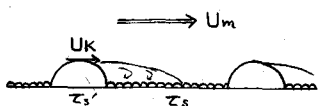


図-1 河床の粗度モデル

1) 構型粗度の場合

水路幅 B 粗度高 K 粗度の間隔 l における抵抗のつり合いを考えると、(2)の $\varphi(D)$ は $\varphi(D) = K/l$ となり、次のような関係が成立する。

$$\begin{aligned} T &= \sum D + \sum \tau_s = D \cdot B + \tau_s B \cdot l \quad (3) \\ \text{また, } T &= \tau_s B \cdot l \quad (\tau = \rho U_*^2 = \rho g h i) \quad (4) \end{aligned} \quad \therefore \tau = \frac{D}{l} + \tau_s \quad (5)$$

(1)(5) より求めた式に、平均流速 U_m を導入して(4)の関係をまとめると 構型粗度の抵抗式が次のように得られた。

$$\frac{U_m}{U_*} = \frac{U_m}{U_K} \sqrt{\frac{2}{C_D} \frac{l}{\epsilon K} \left(1 - \frac{\tau_s}{\tau}\right)} \quad (6)$$

2) イボ型粗度の場合

三次元の粗度要素を有するイボ型粗度の抵抗もりと同様な考え方で導くことができる。すなわち、水路の任意の長さ l 内に平均粒径 r の粗度が m 個存在する時、(2)の $\varphi(D)$ は $\varphi(D) = (\frac{\pi r^2}{4}) m / Bl = F/S$ で表わせる。以上より、イボ型粗度の抵抗は

$$T = D \cdot m + \tau_s B \cdot l, \quad D = \frac{\pi}{4} \rho C_D \epsilon r^2 U_k^2 \quad (7)$$

を前述と同様にしてまとめると、次のように得られた。

$$\frac{U_m}{U_*} = \frac{U_m}{U_K} \sqrt{\frac{2}{C_D} \frac{S}{\epsilon F} \left(1 - \frac{\tau_s}{\tau}\right)} \quad (8)$$

F : 粗度の流れ方向の投影面積

S : 粗度1個の受けもつ水路壁面面積

III. 実験

1) 桁型粗度

鋼製可傾水路 ($0.5 \times 0.6 \times 18.8 \text{ m}$, $I = 0.01 \sim 0.1$) の水路床に図-2に示すように、高さ K 幅 τ ともに等しい正方形断面の木製粗度 ($K=1.2, 2.5, 4.3 \text{ cm}$) と半径 $r=2.0 \text{ cm}$ の半円柱粗度を流水の横方向に等間隔 l に配列した。その相対粗度間隔は $\frac{l}{K}=2 \sim 128, \infty$ である。

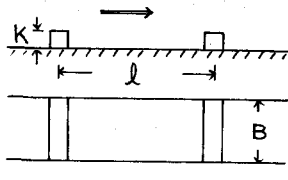


図-2 模型粗度の配置

2) イボ型粗度

高さ K 幅 τ 長さ W ともに等しい2種類の木製立方体 ($K=2.5, 4.3 \text{ cm}$) と、モルタル製半球 ($r=1.6, 2.2, 2.7 \text{ cm}$) を図-3のように所定の間隔 S_1, S_2 で千鳥状および格子状に配列した。その相対粗度密度は $S/F = 2.6 \sim 652.2$ である。

3) 碓 粗度

自然河川で採取し、フルイ分けた丸味を有する4種類の碓 ($d_{50} = 0.44, 1.35, 2.23, 3.10 \text{ cm}$) をランダムにモルタル床面に張り付けた。その $S/F = 2.4 \sim 3.5$ であった。

IV. 結果と考察

1) 桁型粗度

前報⁽¹⁾の流水の形態や抗力測定より、後流の範囲は $\frac{l}{K} < 8$, C_D は $\frac{l}{K}$ に関係なく一定値(角柱: 1.0, 半円柱: 0.6)を有し、かつ $\frac{l}{K}$ は $\frac{l}{K}=1$ で 0.0, $\frac{l}{K}=8$ で 1.0 なる直線的関係を有するものと思われた。以上の条件を(6)式に代入して得られた計算値と実測値の関係を図-4に示した。図より $K=2.5, 4.3$ の $\frac{l}{K}=8$ を除くと、全ての結果の精度は良好で、誤差は $\pm 10\%$ にすぎなかった。また、(6)における $\frac{l}{K}$ は全抵抗におけるマサッ効果の割合を表わすもので図-6のようになり、 $\frac{l}{K} < 8$ で 0, $\frac{l}{K}$ が増大するにつれてその効果を発揮するようである。次に、 $K=2.5, 4.3$ の $\frac{l}{K}=8$ の精度が悪いのは $\frac{l}{K}=8$ が流れの形態において完全干渉流から不完全干渉流への遷移領域に相当するため、かなりの表面波が発生するので、その際の造波抵抗の効果を無視できなかったため、このような誤差が生ずるものと思われる。

2) イボ型粗度

1) と同様にして C_D を求め、 ε は実験より $\frac{S}{F} < 5$ で $\varepsilon = \frac{1}{10} \frac{S}{F}, 5 < \frac{S}{F} < 40$ で $\varepsilon = 0.015 \frac{S}{F} + 0.40$ として用いた。これらを(8)に代入して得られた計算値と実測値の関係を図-5に示した。図より $\frac{S}{F}$ による抵抗値の精度は良好で、その誤差は $\pm 5 \sim 10\%$ であった。

しかし、不均一な形状を有し、ランダムに配置した碓の精度はそれ程よいものとは思われなかった。また、この $\frac{l}{K}$ 値を図-6に示した。

V. あとがき

上記の式は規則的な形状、寸法、配置を有する人工粗度にはよく適合することが判った。しかし、流れの形態の遷移領域や自然河川の碓のように不規則な形状を有する粗度における成果に問題がある。今後は造波抵抗や混合砂礫の形状特性をも表わしたより合理的な式について検討を加えたい。

急勾配水流に関する実験的研究、日林・九枝 No.26~29、土会西支 S.49 岩元 賢

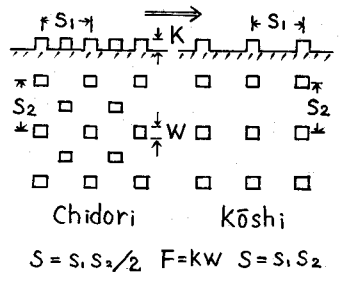


図-3 イボ型粗度の配置

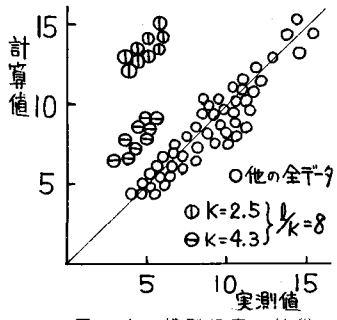


図-4 模型粗度の結果

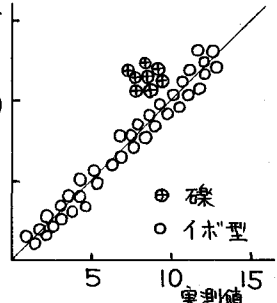


図-5 イボ型粗度の結果

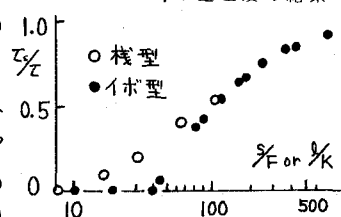


図-6 $\frac{l}{K}$ と $\frac{S}{F}$ の値